

ANEXOS

Voluntario 2

- Rodilla derecha

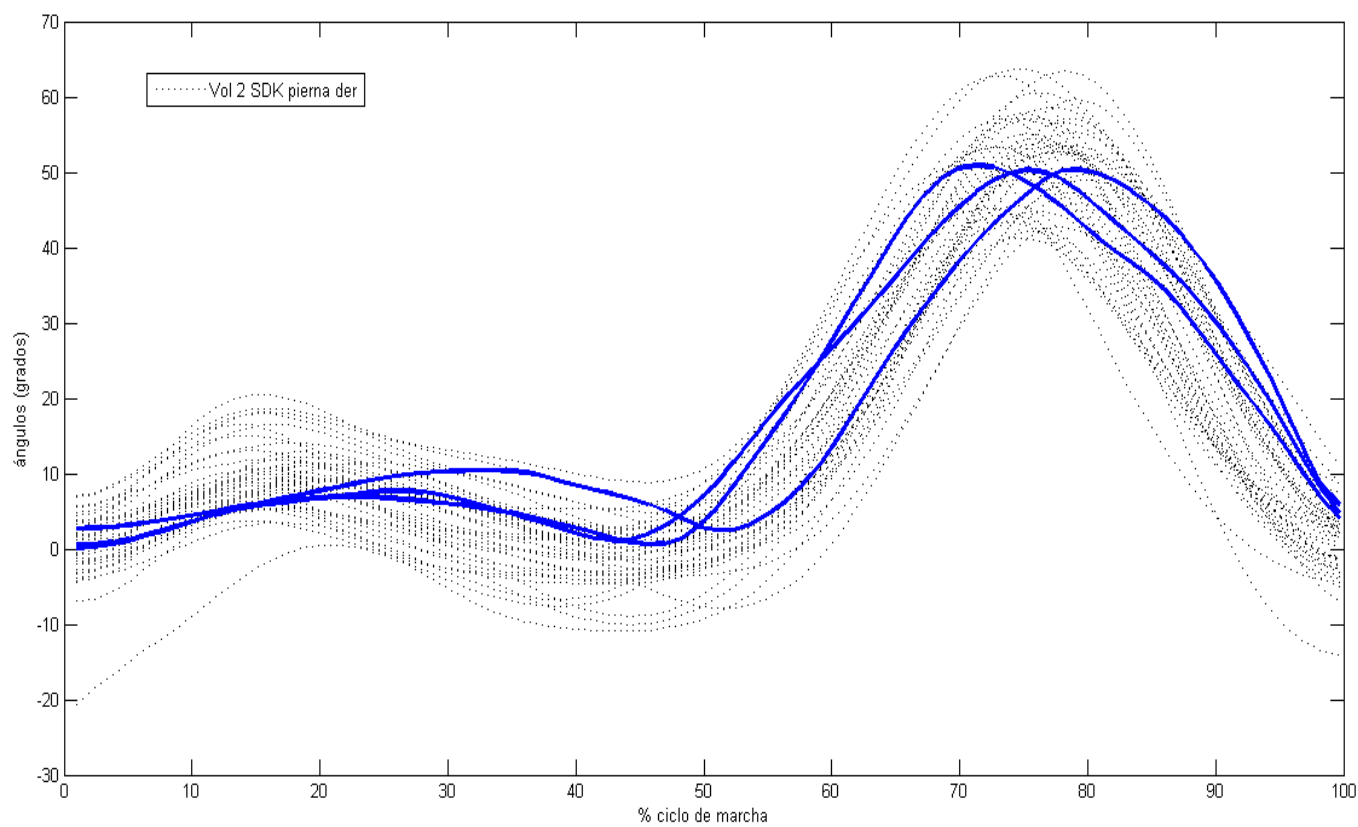


Figura 3.15. Curvas de movimiento (SDK) en la rodilla derecha del voluntario 2

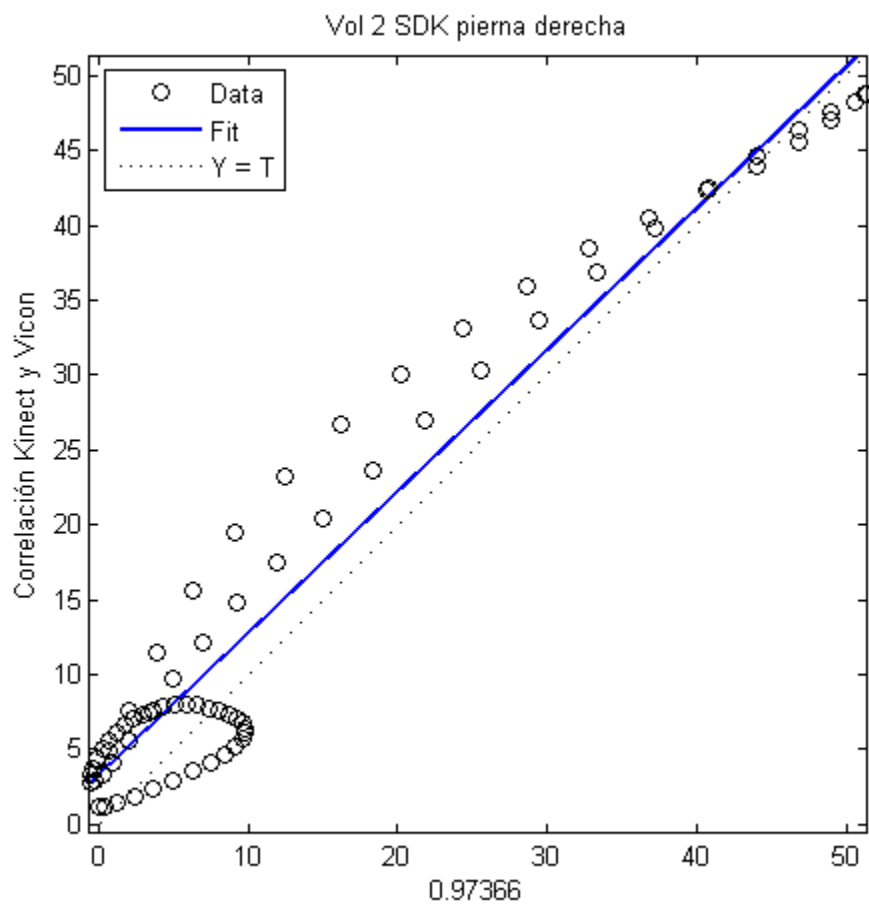


Figura 3.16. Correlación entre las curvas de movimiento la rodilla derecha del voluntario 2 obtenidas con Kinect (SDK) y Vicon

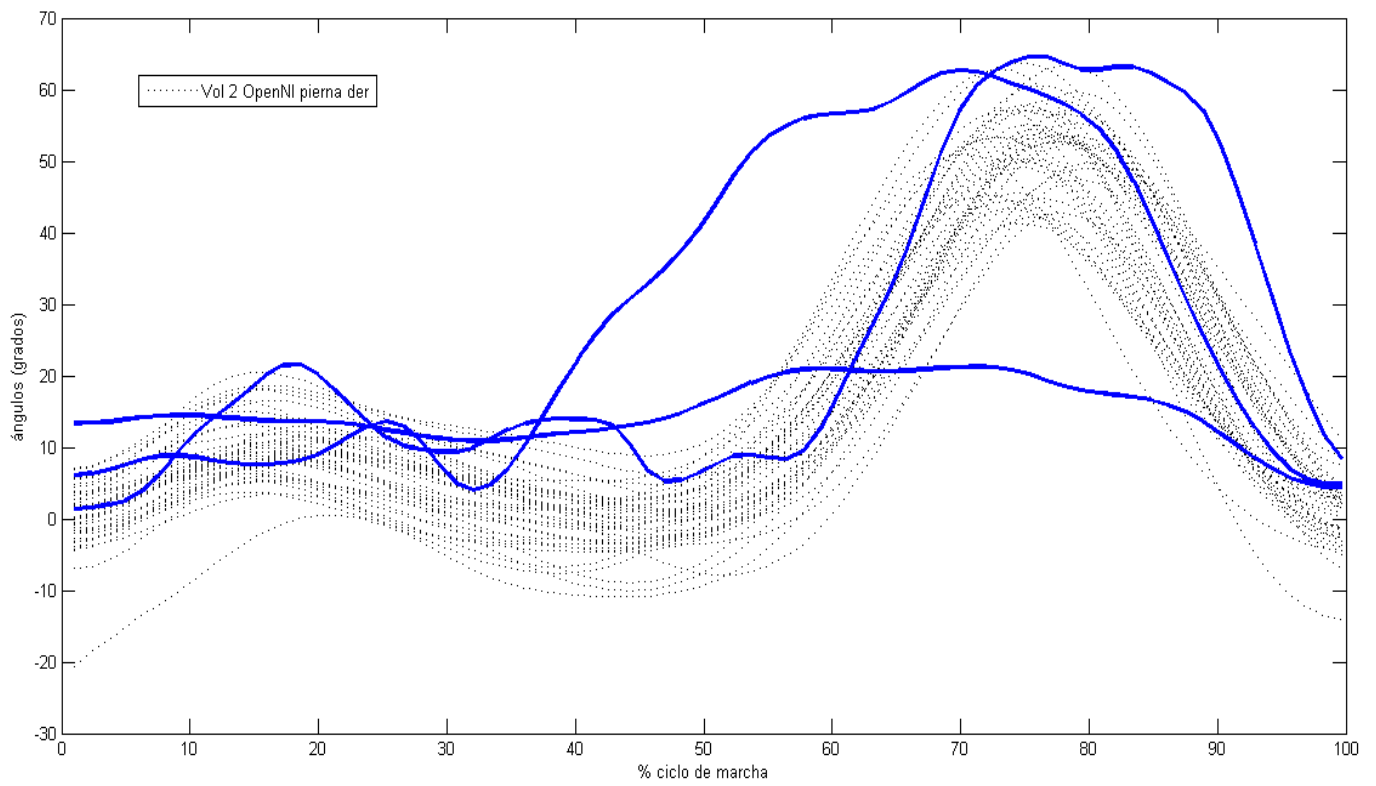


Figura 3.17. Curvas de movimiento (Openni) en la rodilla derecha del voluntario 2

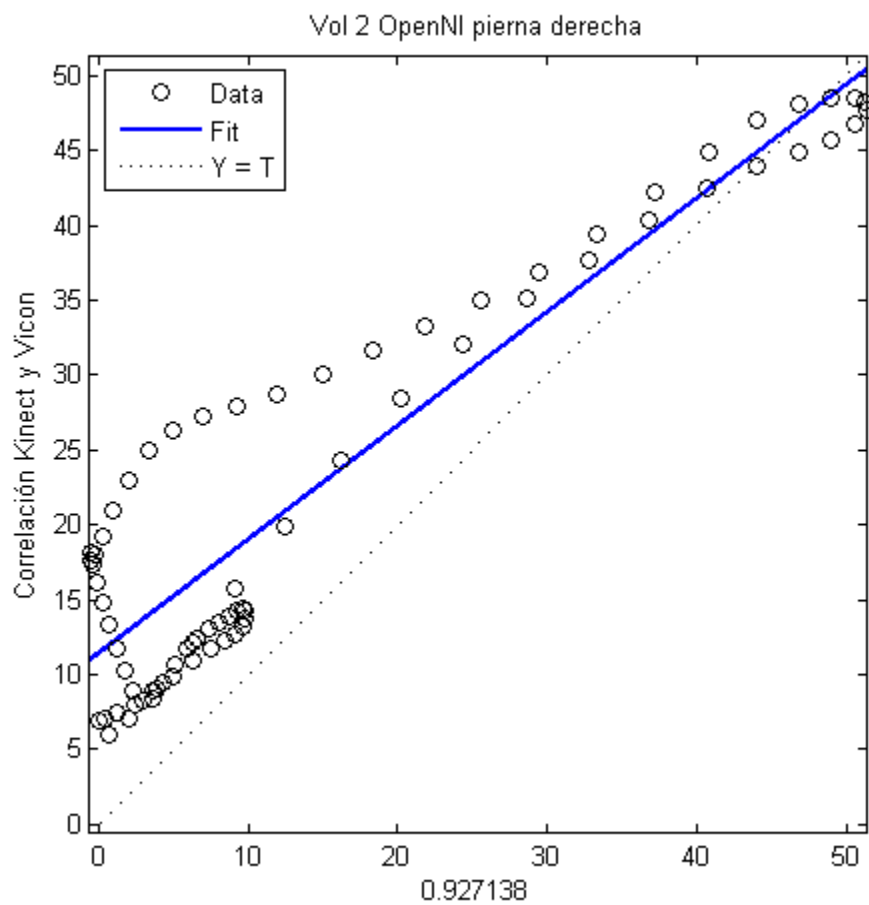


Figura 3.18. Correlación entre las curvas de movimiento la rodilla derecha del voluntario 2 obtenidas con Kinect (OpenNI) y Vicon

- **Rodilla Izquierda**

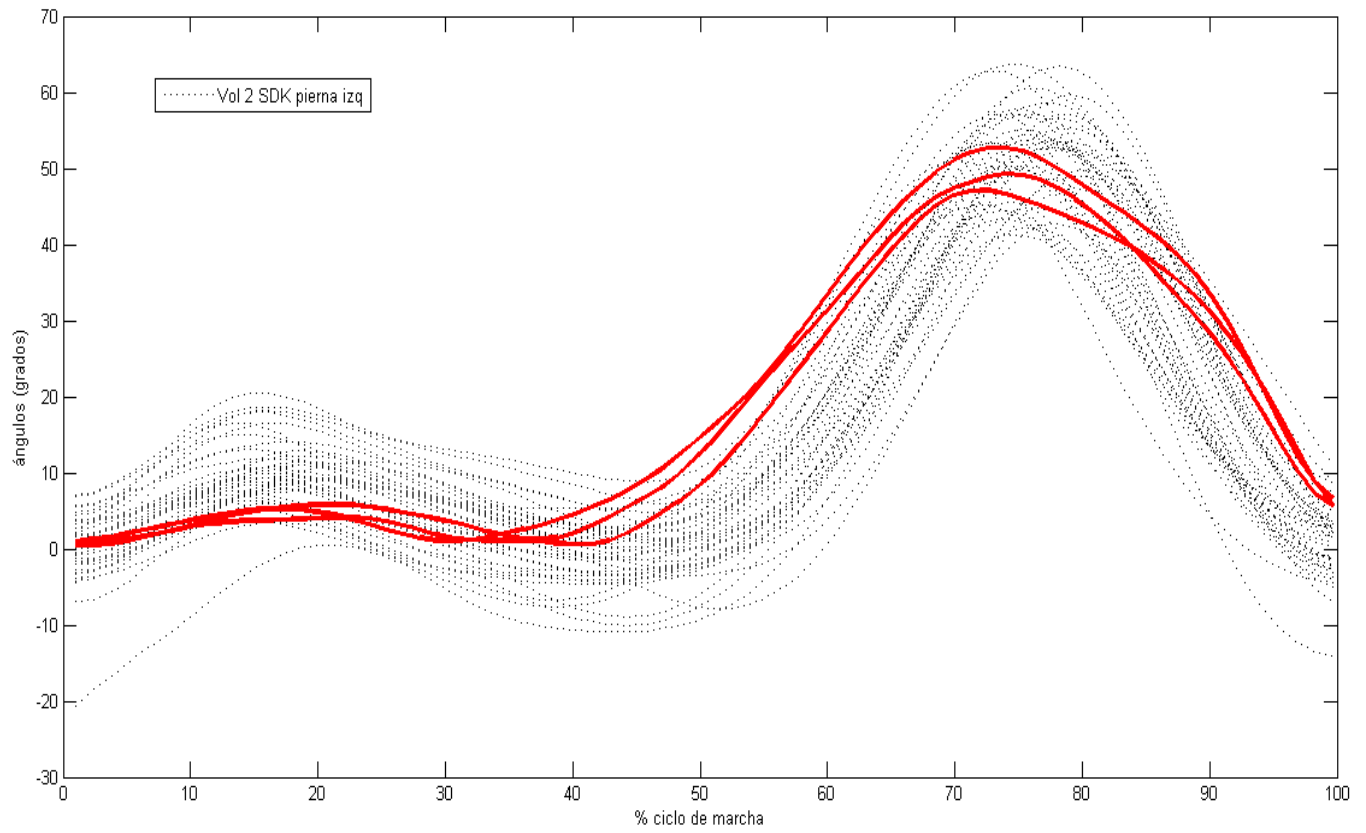


Figura 3.19. Curvas de movimiento (SDK) en la rodilla izquierda del voluntario 2

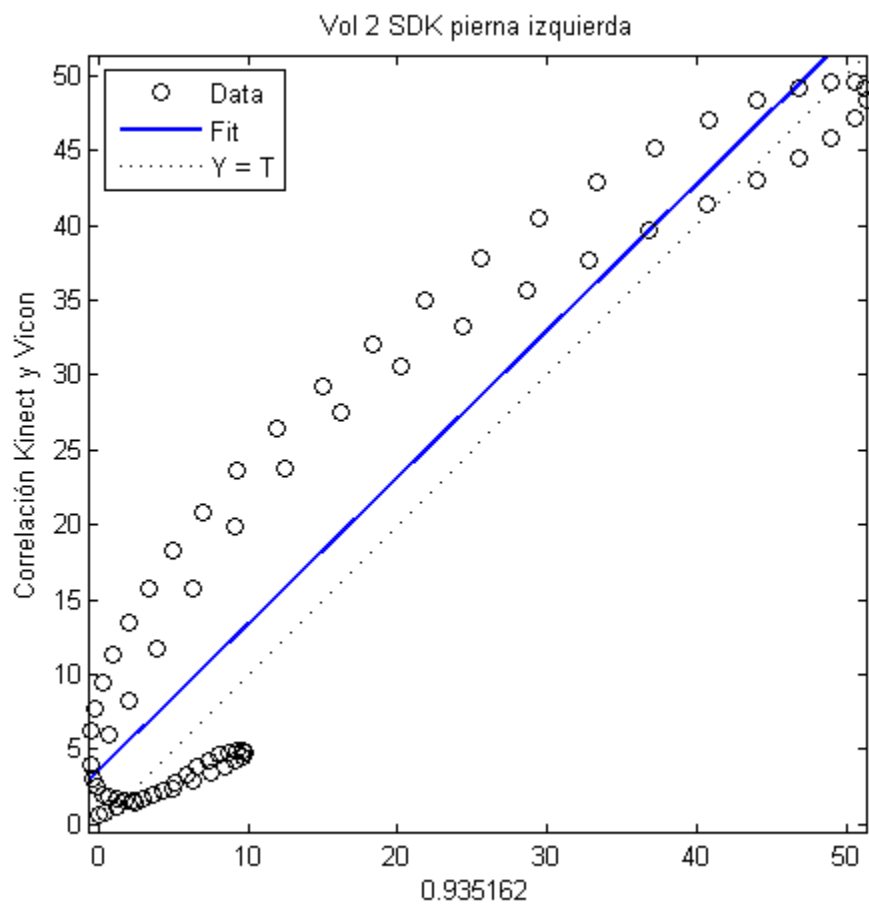


Figura 3.20. Correlación entre las curvas de movimiento la rodilla izquierda del voluntario 2 obtenidas con Kinect (SDK) y Vicon

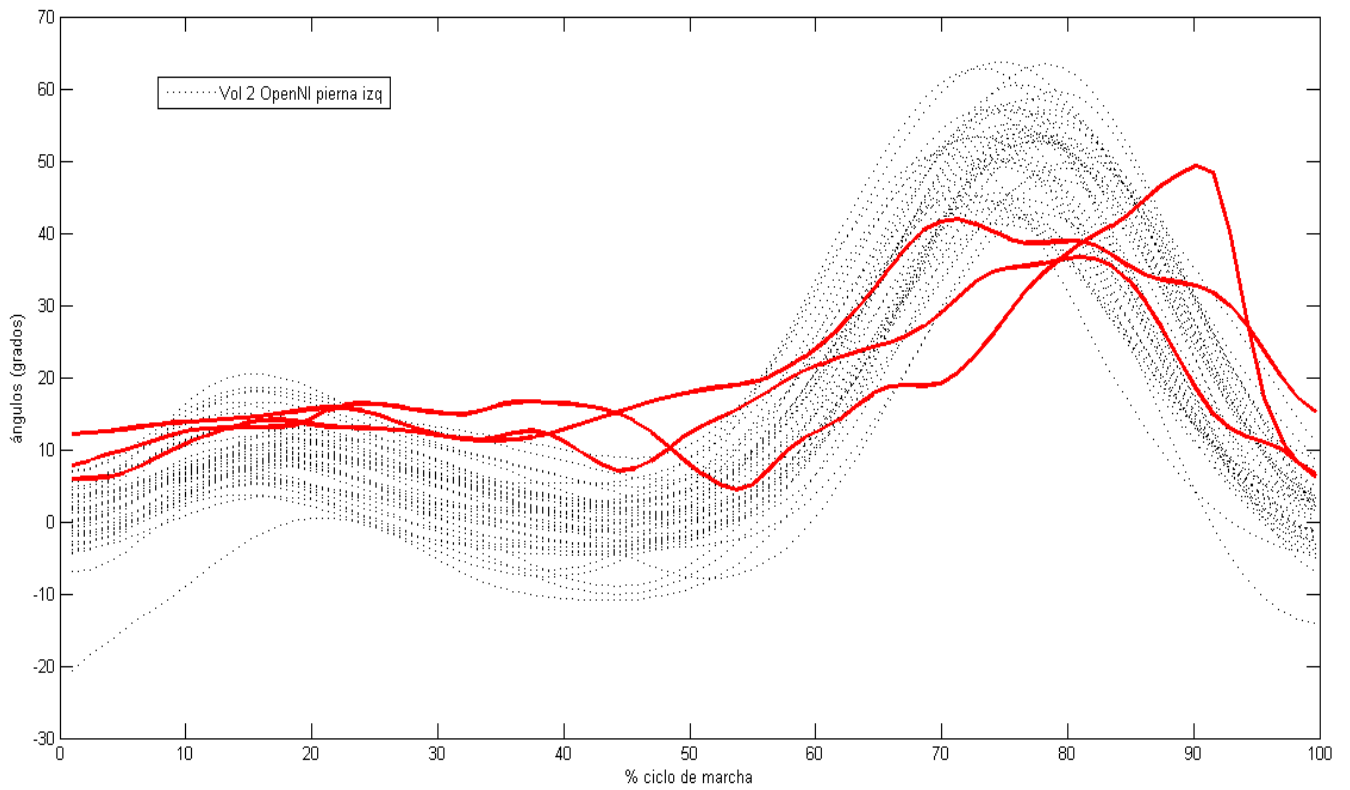


Figura 3.21. Curvas de movimiento (Openni) en la rodilla izquierda del voluntario 2

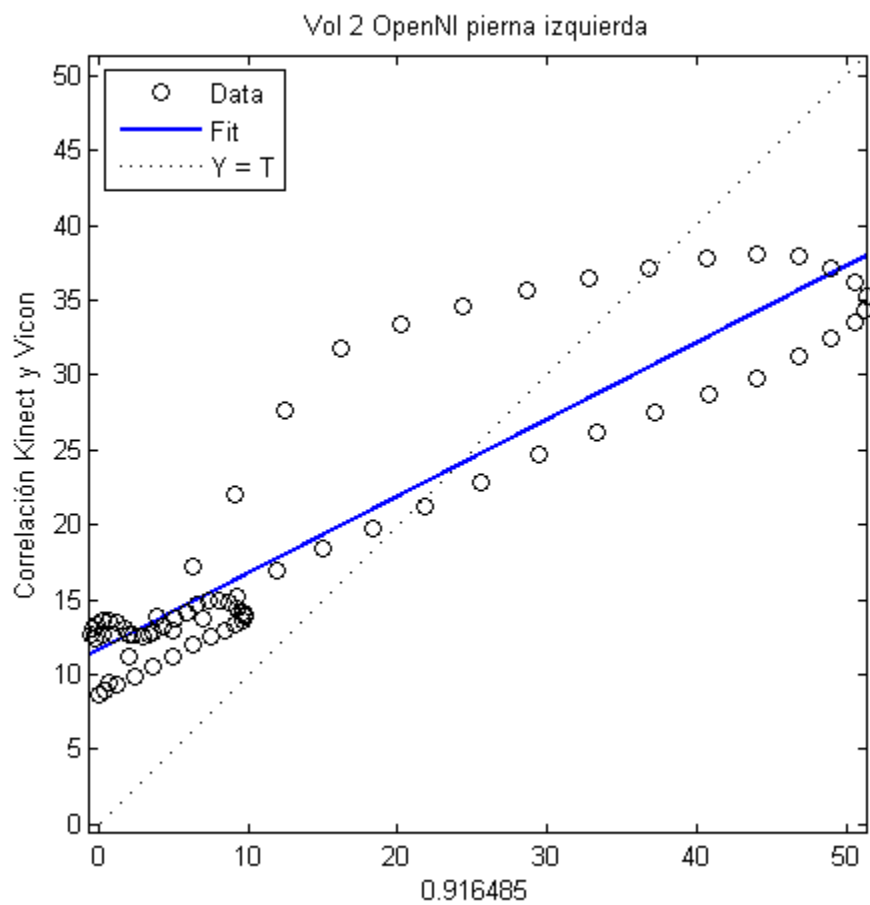


Figura 3.22. Correlación entre las curvas de movimiento la rodilla izquierda del voluntario 2 obtenidas con Kinect (OpenNI) y Vicon

- **Precisión y Exactitud**

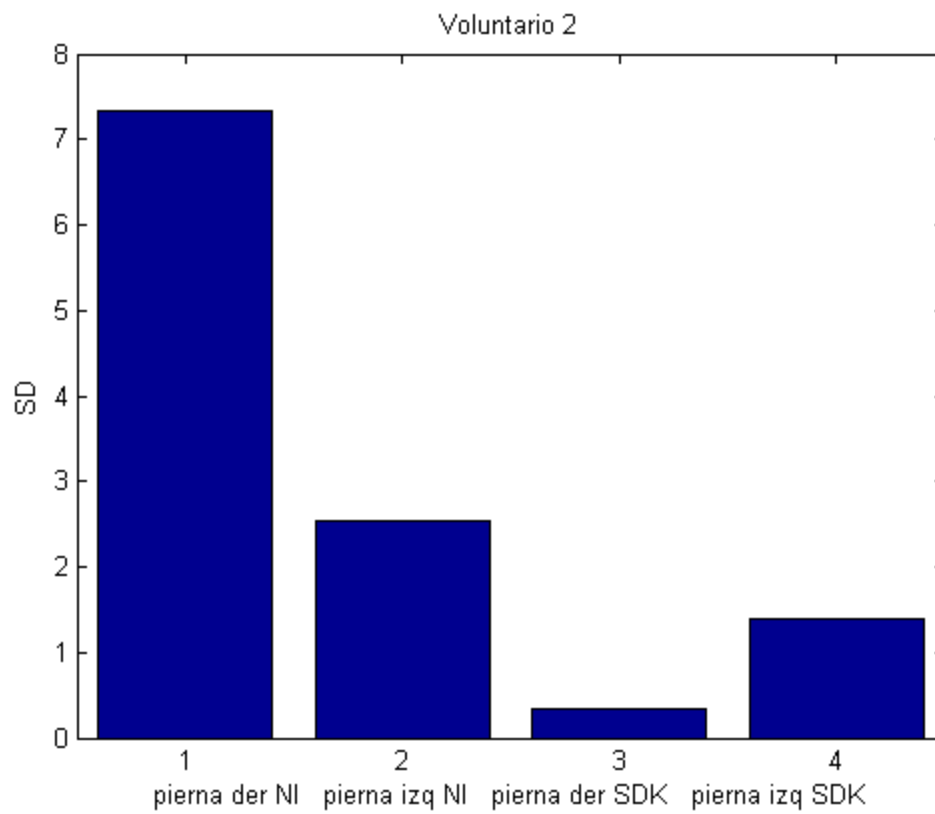


Figura 3.23. Precisión del Kinect medida de las pruebas del Voluntario 2

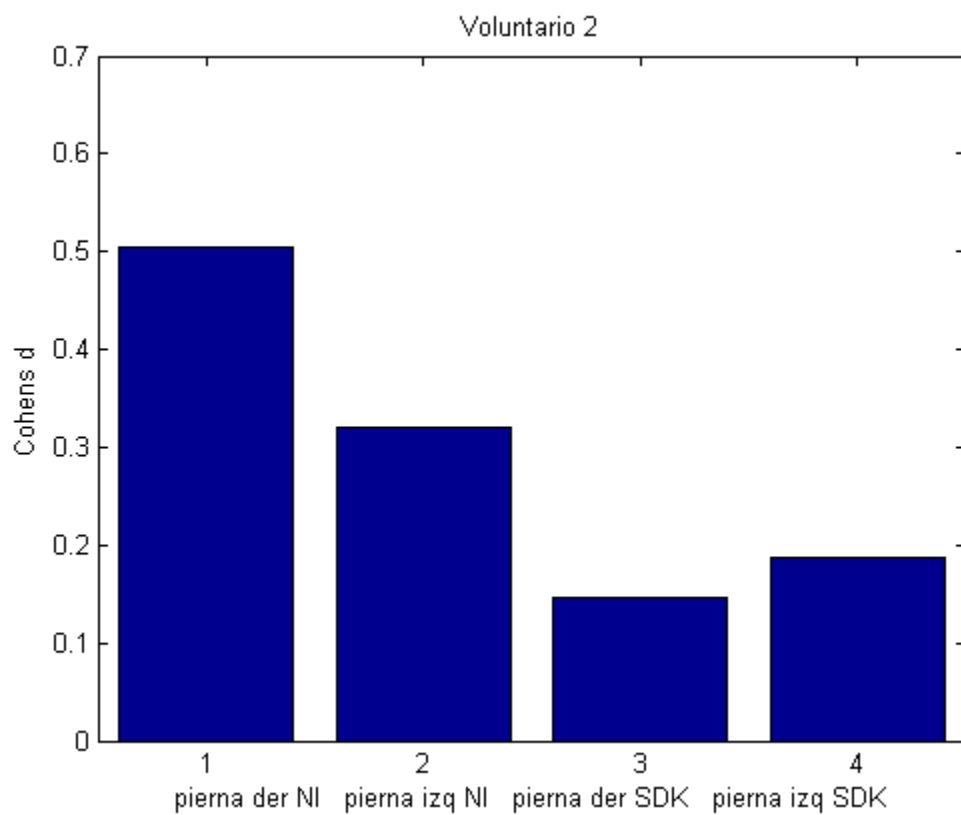


Figura 3.24. Exactitud del Kinect medida de las pruebas del Voluntario 2

3.2.3. Voluntario 3

- **Rodilla derecha**

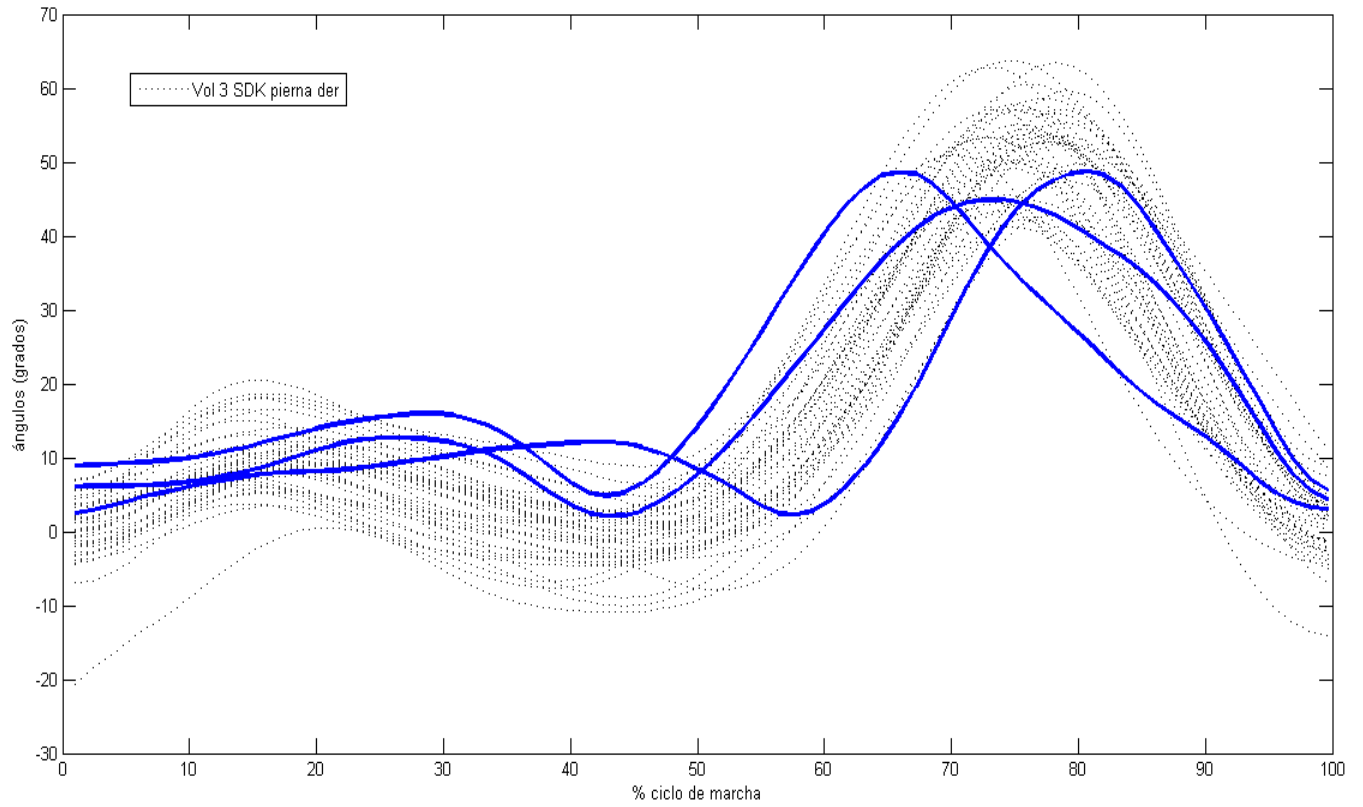


Figura 3.25. Curvas de movimiento (SDK) en la rodilla derecha del voluntario 3

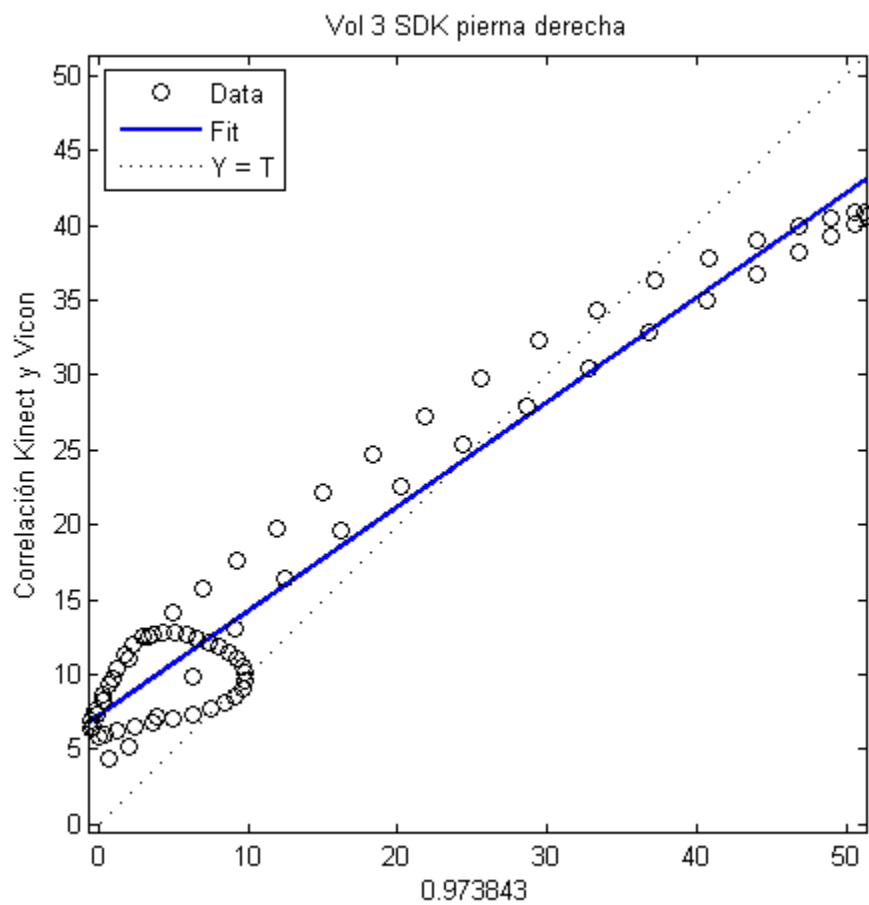


Figura 3.26. Correlación entre las curvas de movimiento la rodilla derecha del voluntario 3 obtenidas con Kinect (SDK) y Vicon

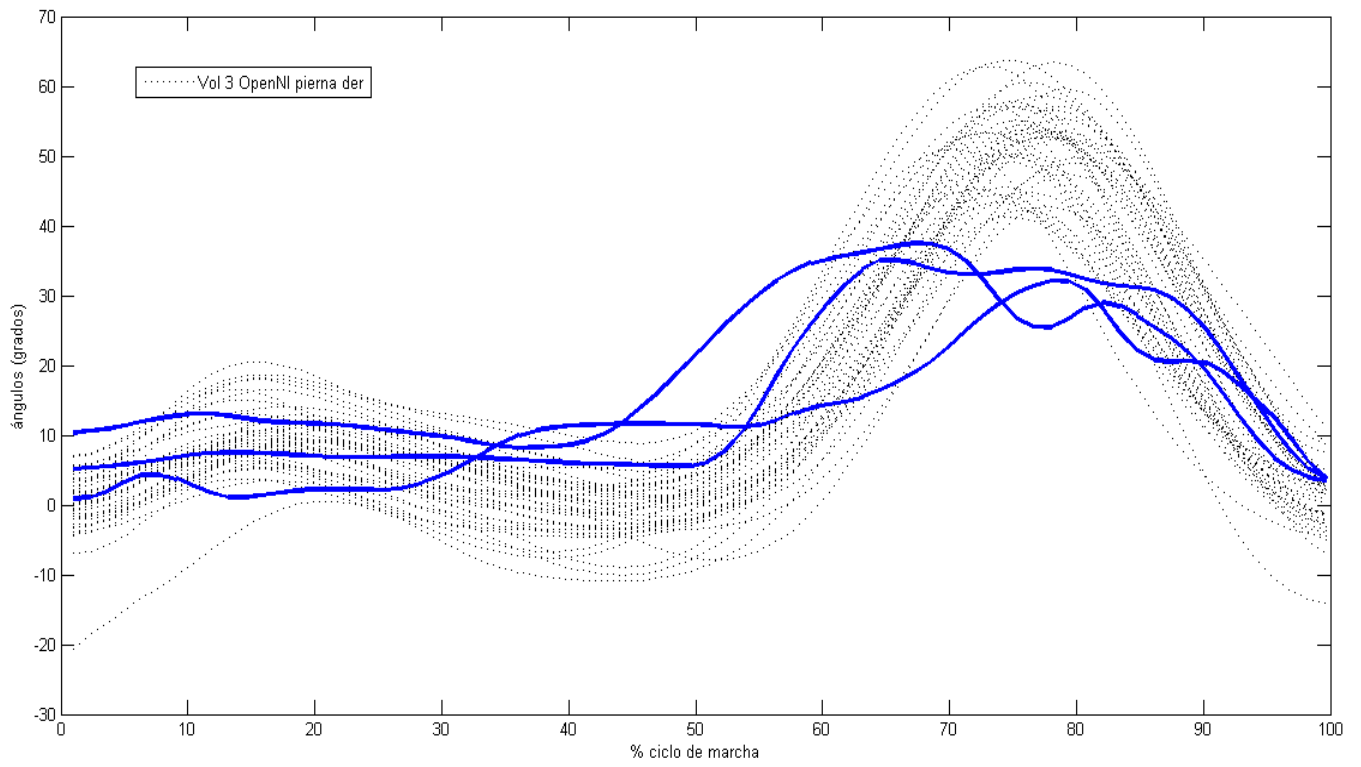


Figura 3.27. Curvas de movimiento (Openni) en la rodilla derecha del voluntario 3

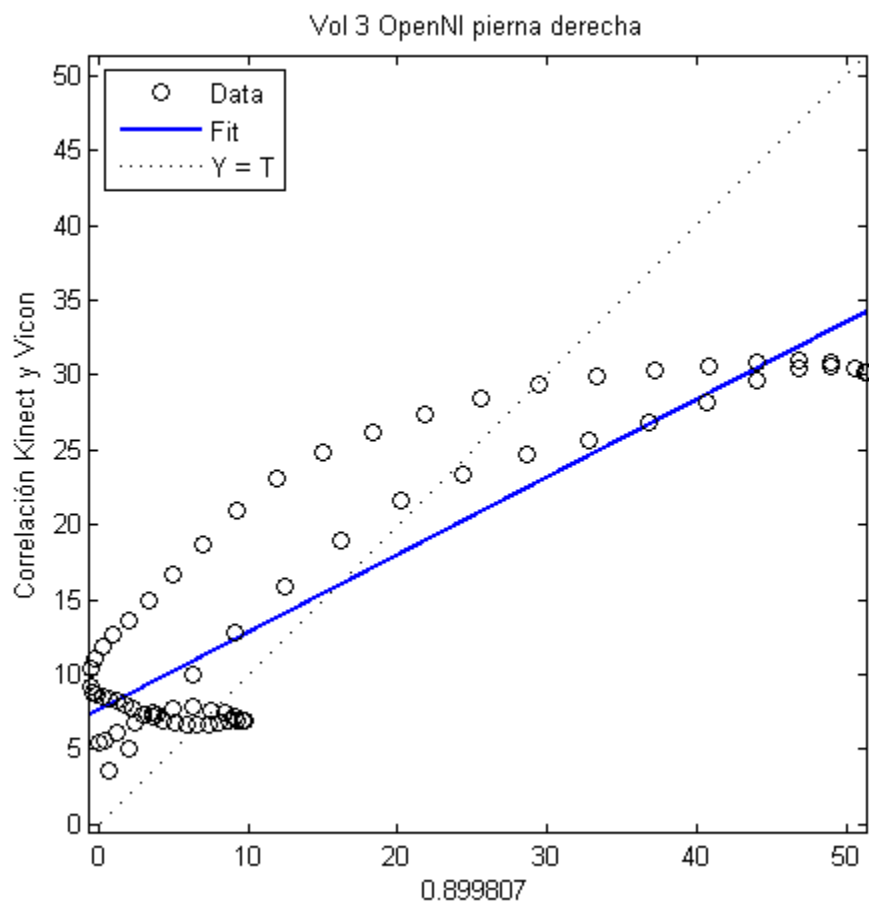


Figura 3.28. Correlación entre las curvas de movimiento la rodilla derecha del voluntario 3 obtenidas con Kinect (OpenNI) y Vicon

- **Rodilla Izquierda**

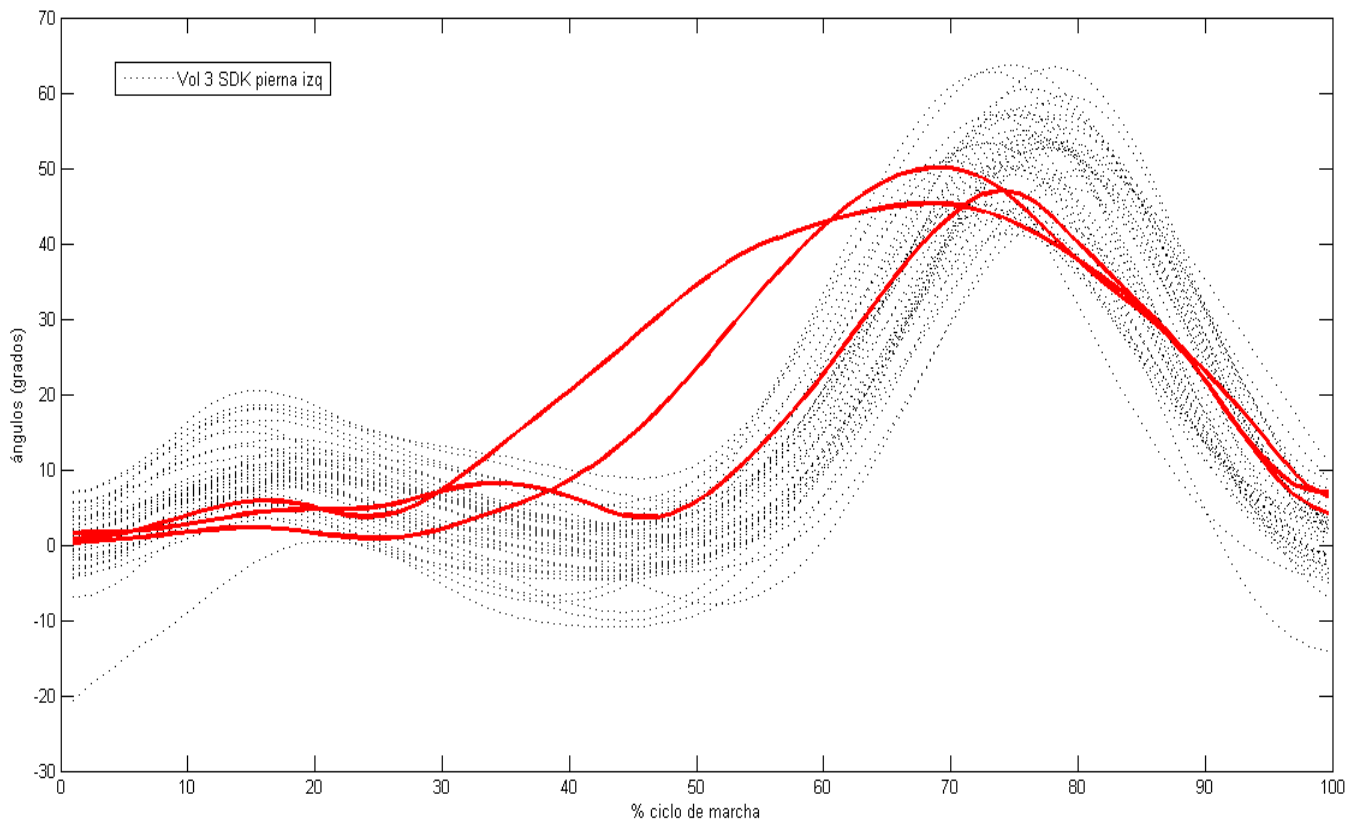


Figura 3.29. Curvas de movimiento (SDK) en la rodilla izquierda del voluntario 3

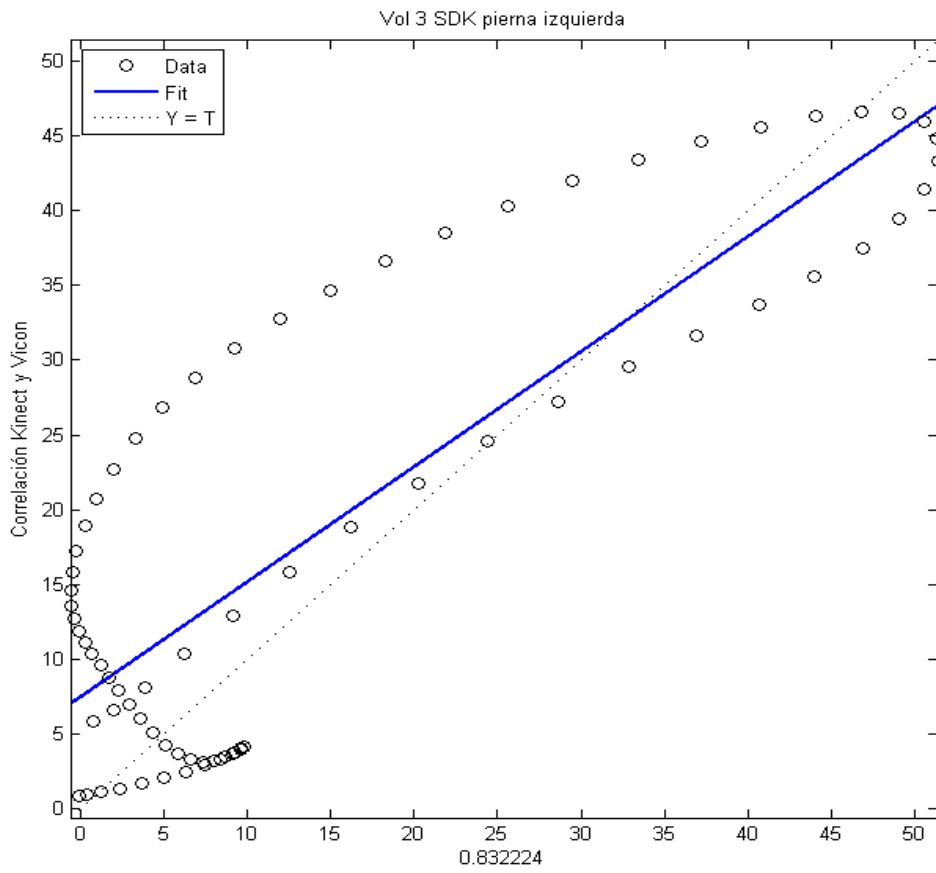


Figura 3.30. Correlación entre las curvas de movimiento la rodilla izquierda del voluntario 3 obtenidas con Kinect (SDK) y Vicon

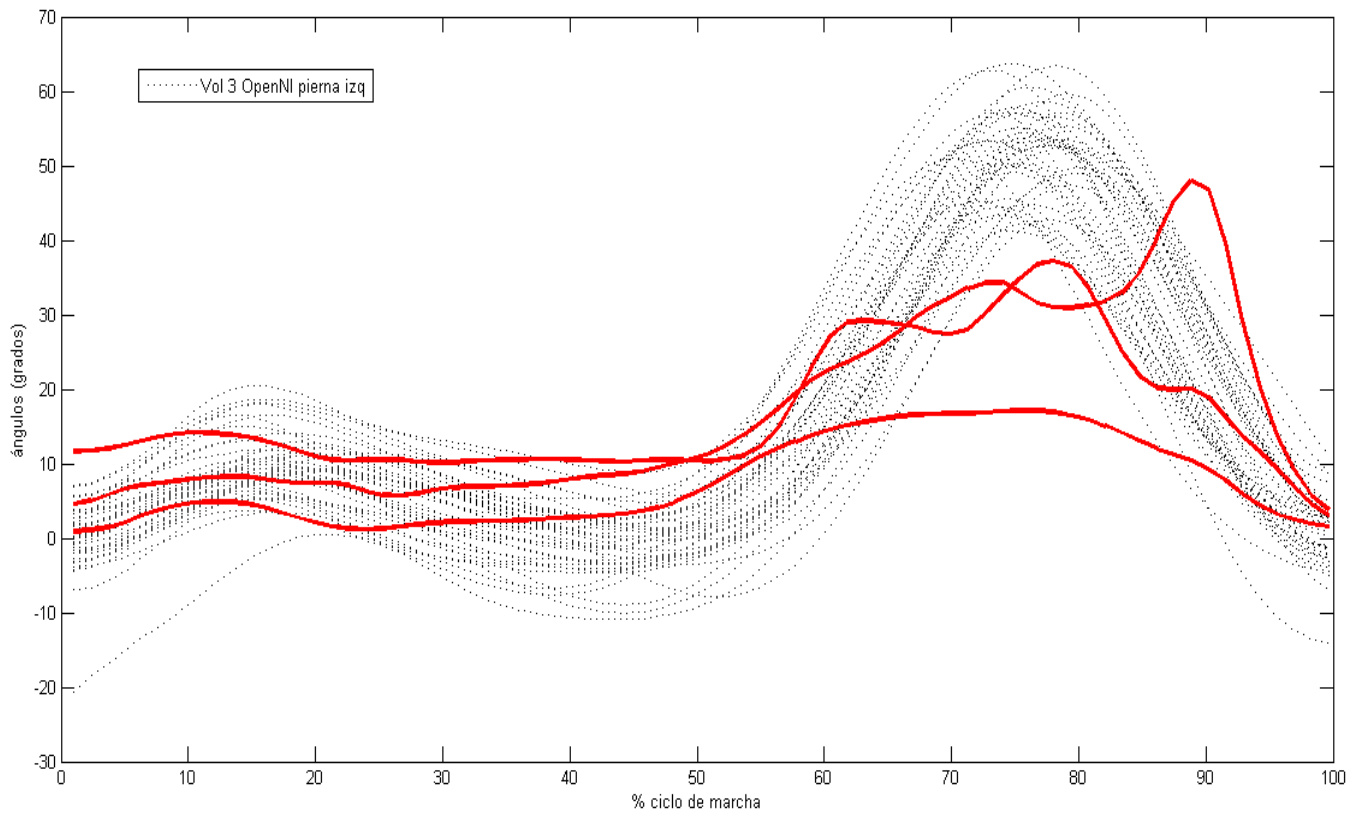


Figura 3.31. Curvas de movimiento (Openni) en la rodilla izquierda del voluntario 3

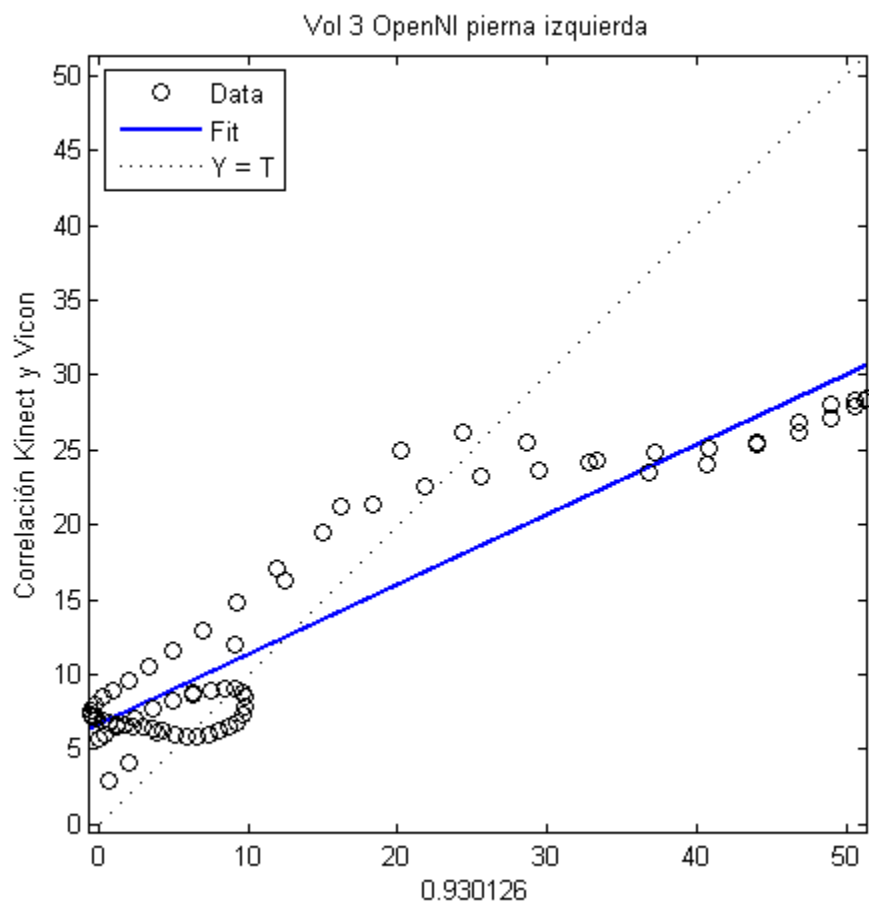


Figura 3.32. Correlación entre las curvas de movimiento la rodilla izquierda del voluntario 3 obtenidas con Kinect (OpenNI) y Vicon

- **Precisión y Exactitud**

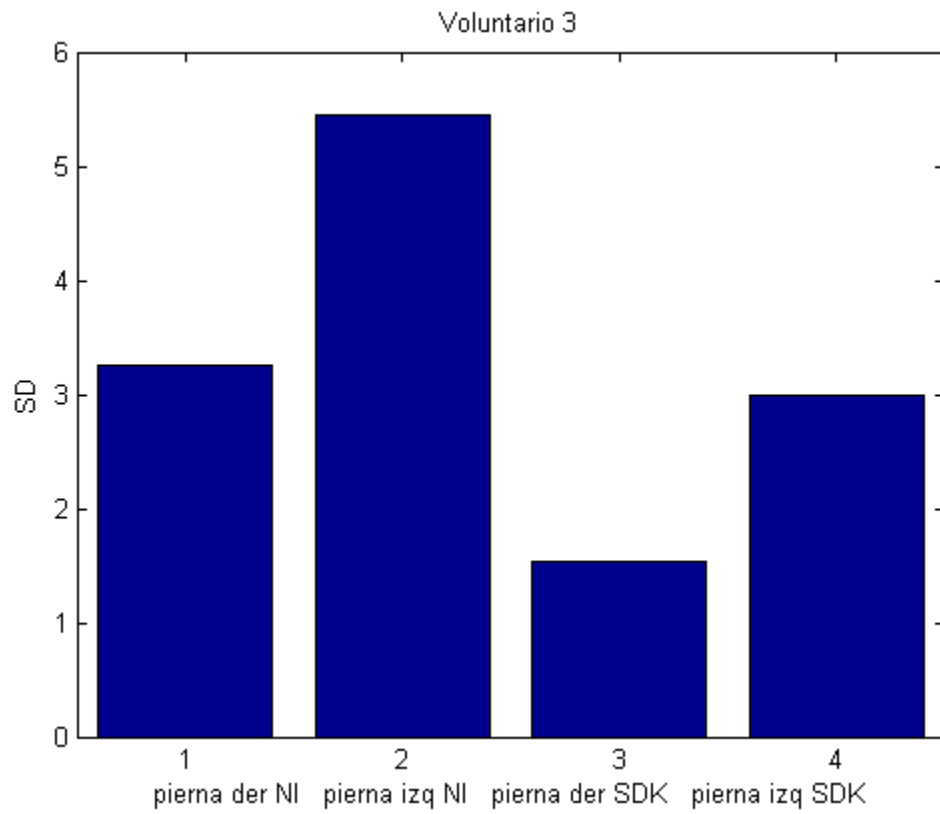


Figura 3.33. Precisión del Kinect medida de las pruebas del Voluntario 3

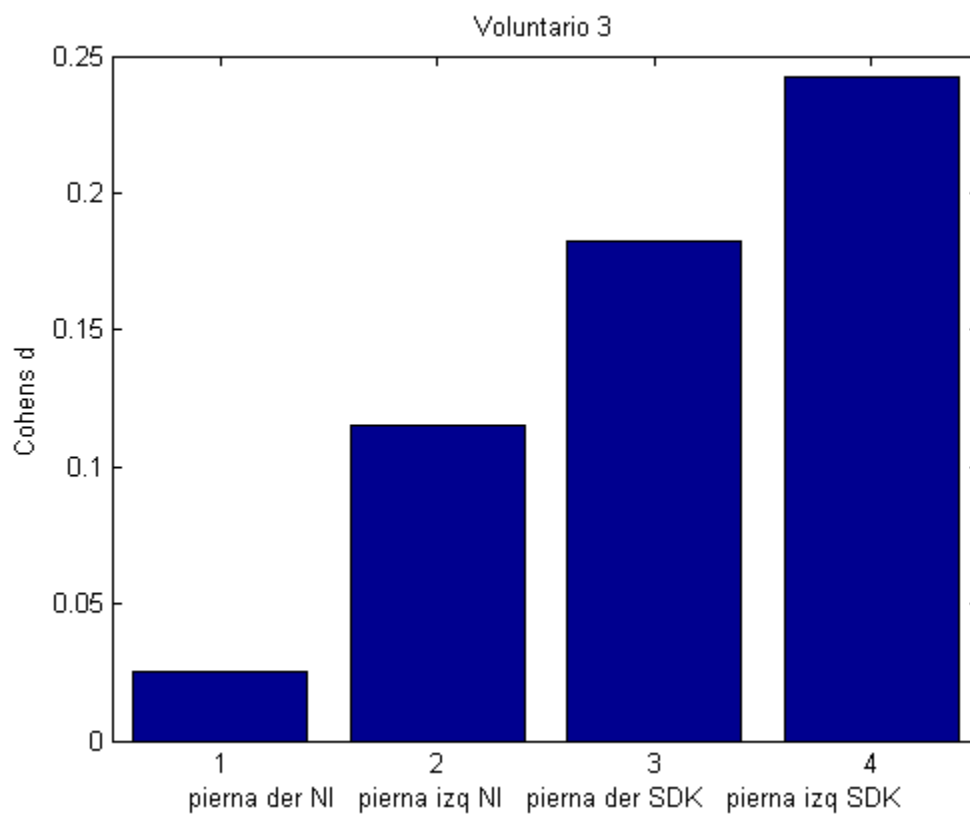


Figura 3.23. Exactitud del Kinect medida de las pruebas del Voluntario 3